

تولید فولاد میکروآلیاژی و انادیوم و نایوبیوم دار به روش غوطه ور سازی و بررسی خواص آن

خطیب الاسلام صدر نژاد

دانشیار دانشکده مهندسی متالورژی دانشگاه صنعتی شریف

سید فرشید کاشانی بزرگ

عضو هیات علمی وزارت فرهنگ و آموزش عالی در مرکز تحقیقات علمی کشور

و

سعید حشمتی منشی

عضو هیات علمی دانشکده فنی دانشگاه تهران

چکیده

میکروآلیاژ کردن فولاد کربن - منگنز با دو عنصر وانادیوم و نایوبیوم با استفاده از مواد فلزی موجود در داخل کشور در مقیاس آزمایشگاهی به منظور افزایش استحکام در مقابل وزن انجام گرفته است. برای ساختن فولاد میکروآلیاژی از روش غوطه ور سازی استفاده شده است و تأثیری که عواملی همچون همزدن فلزمنداب هنگام افزایش عناصر میکروآلیاژی و آنالیز شیمیایی فولاد مذاب بر بازدهی جذب افزوده شده داشته اند بررسی شده است. دریاب تأثیر مقدار درصد عناصر میکروآلیاژی جذب شده برپایفت سطوح مقاطع فلز پس از انجام و همچنین تاثیر عملیات حرارتی و مکانیکی برخواص فولاد ریخته ای، مطالعات نسبتاً مفصلی انجام و نتایج حاصل بررسی شده است. برآسان متالوگرافی با میکروسکوپ الکترونی و میکروآنالیز با اشعه ایکس، توزیع ترکیبات عناصر میکروآلیاژی در زمینه فولاد به صورت رسوبات بسیار ریز پراکنده در مقاطع فازهای آستنیت و فریت دیده می شوند. این رسوبات نقش نقاط شروع جوانه زنی را در تبدیل آستنیت به فریت در حین سرد شدن نهایی از دمای نرمالیزاشیون ایفا کرده و باعث ریز شدن دانه های فولاد می شوند. میزان استحکام و سختی نمونه ها با افزایش محتوای عناصر میکروآلیاژی به میزان قابل ملاحظه ای افزایش می یابد و در عین حال کاهش درصد طویل شدن نمونه ها با افزایش عناصر میکروآلیاژی، حدی درخور پذیرش دارد.

مقدمه

۸. فولادهای میکروآلیاژی اگرچه هزینه تولیدی بیشتر از فولادهای کربن - منگنز عادی دارند ۱۵، ۹، ۴، اما به دلیل برتری خواص مکانیکی، بر فولادهای کربن - منگنز ترجیح داده می شوند.

تنشی تسلیم بالای فولادهای میکروآلیاژی، امکان کاهش ضخامت و درنتیجه کاهش وزن قطعات را فراهم می آورد ۴، ۱۲-۹. کاهش وزن سبب تقلیل هزینه های تولید،

کاربرد فولاد میکروآلیاژی طی دو دهه اخیر رشد فزاینده ای یافته است ۱. این رشد به علت امکان برگزیدن این فولاد به جای فولاد کربن - منگنز ۲-۵ و فولاد های آبداده و بازگشتداده شده Quench and Tempered است ۶-۸. برگزیدن فولاد میکروآلیاژی به جای فولاد کربن منگنز سبب کاهش مصرف ۴-۲ و به جای فولاد کم آلیاژ آبداده و بازگشتداده شده باعث تقلیل هزینه های شود

و منگنز طی عملیات ذوب به علت میل ترکیبی زیاد این عناصر با اکسیژن هوا در جدول ۱ آمده است. برای میکروآلیاز کردن فولادها، فرروانادیوم ۲۵ درصد و فرونایپسیوم ۶ درصد به کار رفته است. با توجه به میل ترکیبی شدید عناصر میکروآلیازی با اکسیژن و امکان اکسید شدن آنها در دمای فولادسازی، مواد فروآلیازی خرد شده است و در قوطیهای فولادی از جنس ورق فولاد کم کربن ریخته شده. با غوطه ورسازی این قوطیهای درفلز مذاب، محتوا یاشان به فولاد مذاب افزوده شده است. قبل از غوطه ور ساختن قوطیهای، فولاد مذاب را آلومینیوم خالص اکسیژن زدایی می‌کند. هم‌زدن فولاد مذاب از طریق حرکت دادن قوطیهای غوطه ور را میله‌های متصل به آنها انجام می‌دهد. عناصر میکروآلیازی را پس از جذب شدن در فولاد، با آلومینیوم خالصی که مجدداً به فولاد افزوده می‌شود، حفاظت می‌کنند. آنالیز شیمیائی فولادهای میکروآلیازی حاصل با استفاده از دستگاه کوانتمتر به شرح جدول ۲ تعیین می‌شود.

ریخته گری فولاد مذاب در قالب‌های فلزی پیش گرم شده انجام می‌شود. نمونه‌های آزمایشی برای انجام عملیات حرارتی، نورد، آنالیز شیمیائی، متالوگرافی و سختی سنجی از طریق بریدن قطعات ریخته شده فولادی تهیه می‌شوند. عملیات حرارتی نرمالیزاسیون به مدت ۱۵ دقیقه در دمای 910°C بر تعدادی از قطعات انجام می‌شود. این قطعات سپس در هوا سرد می‌شوند. برای انجام عملیات آبدھی، نمونه‌ها در دمای 910°C به مدت ۱۵ دقیقه نگهداری شده و آنگاه در آب می‌شوند که نمونه‌های سپس به مدت ۱۵ دقیقه در دمای 5°C بازگشت داده می‌شوند. نورد گرم نمونه‌ها در دمای $950^{\circ}\text{C} - 950^{\circ}\text{C}$ انجام می‌شود. دمای نورد در مراحل نهایی حدود 600°C است. پس از نورد، نمونه‌ها در هوا سرد می‌شوند. عملیات آبدھی و بازگشت سپس بر تعدادی از تسمه‌های حاصل از نورد انجام و نمونه‌های کششی از آنها تهیه می‌شود.

بررسی چگونگی توزیع عناصر میکروآلیازی در زمینه فولادی از طریق متالوگرافی با میکروسکوپ الکترونی و میکروآنالیز با اشعه ایکس انجام می‌شود. نتیجه بررسیها نشان‌دهنده یکنواختی توزیع عناصر در زمینه فولادهای صورت رسوبات بسیار ریز احتمالاً "کاربید"، نیترید یا کاربونیترید است. مقایسه سطوح مقاطع متالوگرافی شده نمونه‌ها نشان می‌دهد که حداقل یکی از این ترکیبات می‌باید با توجه به

حمل و نقل و عملیات حرارتی و مکانیکی می‌شود. لذا استفاده از فولادهای میکروآلیازی در ساخت بدنه و شاسی اتومبیل‌ها [۱۱-۱۳]، قطعات کامپونهای ماشین‌آلات ساختمانی [۱۴-۱۶]، بدنه مخازن تحت فشار [۱۵]، بدنه کشتیهای و سازه‌های دریایی [۱۶]، آرماتورهای بتن‌سلح [۱۷]، خطوط لوله نفت و گاز [۱۸-۳۶] و چرخانک بخش چرخان [۱۹] گزارش شده است.

مشکل اصلی در ساختن فولادهای میکروآلیازی، بازدهی پائین جذب عناصر میکروآلیاز کننده است. این عناصر به دلیل میل ترکیبی شدیدشان، با اکسیژن هوا ترکیب شده و از محیط عمل خارج می‌شوند. مقدار محدود جذب شده در فولاد، با عناصر ناخالصی موجود در فاز مذاب همچون اکسیژن، گوگرد، نیتروژن و کربن وارد و اکتش شده و ترکیبات بسیار سختی تولید می‌کنند که در نهایت در درون و مرز فازهای سرمه می‌کند و باعث ریز شدن دانه‌ها و بالا رفتن استحکام فولاد می‌شود. در صورتی که میزان عناصر ناخالصی در فولاد مذاب بیش از حد لازم باشد یا این عناصر در هنگام ریختن فولاد به سهولت بتوانند وارد محیط عمل شوند، با عناصر میکروآلیازی، ترکیب شده آنها را از محیط خارج می‌سازند. لذا لازم است در هنگام ریختن فولاد مذاب دقت بسیاری برای جلوگیری از ورود عناصر ناخالصی به داخل فلز مذاب به عمل آید.

نتایج آزمایش‌های انجام شده برای تولید فولاد میکروآلیازی با استفاده از مواد و امکانات موجود در داخل کشور در این مقاله شرح داده شده است. برای بالا بردن بازدهی جذب عناصر میکروآلیازی، از روش نسبتاً "جدیدی" که مشابه روش غوطه ورسازی محققین چینی ۳۷ است، استفاده شده. خواص مکانیکی و ساختار میکروسکوپی فولادهای حاصل، پس از انجام عملیات حرارتی و مکانیکی بررسی و مطالعه شده است.

آزمایشها و نتایج

دونوع فولاد شمع اتومبیل بوش و خطوط لوله شرکت نفت با ترکیبی‌های شیمیائی داده شده در جدول ۱ برای تهیه فولاد مذاب به کار رفته است. قطعات فولاد را پس از بارشدن در بوته دیرگذاری از جنس آلومینا به ظرفیت ۷۰ سانتی متر مکعب، یک کوره الکتریکی مقاومتی گرم و ذوب می‌کند (شکل ۱). کاهش میزان تعدادی از عناصر مانند سیلیسیوم، کربن

جدول ۱- آنالیز شیمیائی فولادهای شمع اتمیل و خطوط لوله شرکت نفت قبل و بعد از ذوب در بوته دیرگاز

آنالیز شیمیائی (درصد)						
ردیف	نوع فولاد	کربن	سیلیسیوم	منگنز	کروم	نیکل
۱	شمع بوش قبل از ذوب	۱/۰	۱/۳	۰/۲	-	۰/۰
۲	شمع بوش بعد از ذوب	-	۰/۴	۰/۶	۰/۲	۰/۰
۳	لوله نفت قبل از ذوب	۰/۵	۰/۲۵	۰/۰۴	۰/۰۳	۰/۰۱
۴	لوله نفت بعد از ذوب	-	۰/۷۲	۰/۰۴	۰/۰۲	۰/۰۲۳

جدول ۲- نتیجه تجزیه شبیه‌سازی شونه های فولاد میکروآلزی با دستگاه کوانتومتر

نحوه به کار رفته	فولاد اولیه	میانگین آنالیز شبیه‌سازی شونه های در سه نقطه (درصد وزنی)					
کربن	سلیسیوم	نایدیوم	نیکل	کروم	گوگرد	فسفر	
۱	۰/۰۵۹	۰/۱۲	۰/۰۶	۰/۱۱	۰/۰۴	۰/۰۴۴	۰/۰۱۵
۲	۰/۰۳۴	-	-	۰/۲۵	-	-	۰/۰۱۵
۳	۰/۱۴	۰/۲۱	۰/۱۱	۰/۱۱	۰/۰۲۵	۰/۰۲	۰/۰۱
۴	۰/۱۴	-	۰/۰۴	۰/۰۴	۰/۰۲۵	۰/۰۲۳	۰/۰۱
۵	۰/۱۳	۰/۰۳۹	۰/۰۴	۰/۰۴	۰/۰۲۹	۰/۰۲	۰/۰۱۱
۶	۰/۱۴	۰/۰۲	۰/۰۵	۰/۰۸۹	۰/۰۲۹	۰/۰۱۹	۰/۰۱۱
۷	۰/۱۴	۰/۰۲	۰/۰۵	۰/۰۸۹	۰/۰۲۲	۰/۰۱۹	۰/۰۱۱

نمی شود . بافت بسیار ظریف مارتنتزیت به خصوص در مورد فولادهای نایوبیوم دار در این حالت قابل تشخیص است

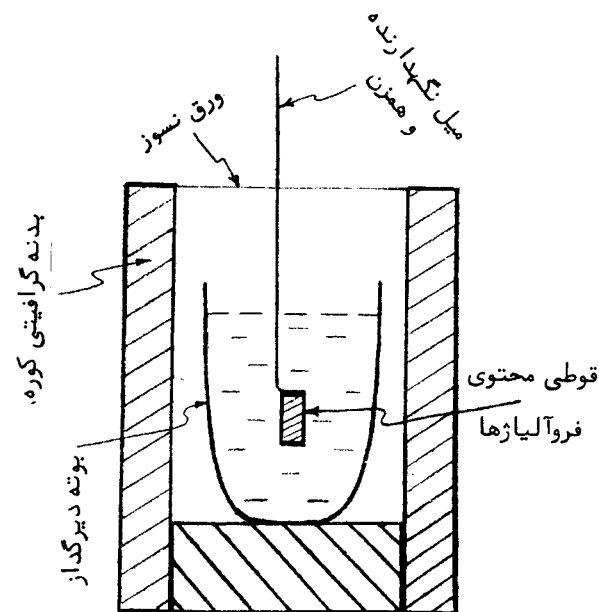
بحث

نتایج آزمایش‌های انجام شده برای تولید فولاد میکروآلیاژی و بازدهی جذب عناصر افزوده شده به فلز مذاب در جدول ۳ خلاصه شده است . همان‌گونه که از اطلاعات به دست آمده برمی‌آید ، میزان جذب عناصر میکروآلیاژی به روش افزودن عناصر ، تعداد دورهای همزدن مذاب و مدت نگهداری فلز مذاب پس از آلیاژ سازی بستگی دارد ، به طوری که بیشترین بازدهی جذب برای نمونه پنجم (لوله شرکت نفت با ۱۴/۵ درصد کربن) به ترتیب ۹۲ درصد برای وانادیوم و ۸۵ درصد برای نایوبیوم به دست آمده است . مقایسه اطلاعات جدولهای ۲ و ۳ نشان می‌دهد که راندمان جذب عناصر میکروآلیاژی به میزان کربن فولاد مذاب نیز بستگی دارد به طوری که میزان جذب در مورد لولهای شرکت نفت با کربن حدود ۱۴/۵ درصد (نمونه های ۳، ۴ و ۵) بیشتر از بازدهی جذب برای فولادهای شمع اتموبیل با کربن حدود ۵/۳۶ درصد (نمونه های ۲ و ۱) است . مقایسه درصد جذب شده دو عنصر وانادیوم و نایوبیوم در نمونه های ۲، ۴ و ۵ نیز نشان می‌دهد که بازدهی جذب وانادیوم بیشتر از بازدهی جذب نایوبیوم است .

به علت میل ترکیبی شدید عناصر میکروآلیاژی با اکسیژن و نیتروژن ، همزدن بیش از اندازه فلز مذاب می‌تواند باعث افزایش میزان هوای محلول در فلز و اتلاف عناصر میکروآلیاژی شود . وجود درصد بالاتر کربن در فلز می‌تواند به کاهش پتانسیل اکسیژن و حفاظت عناصر میکروآلیاژی از حمله اکسیژن محلول یا غیر محلول بینجامد . اما باید توجه داشت که به علت میل ترکیبی شدید کربن با عناصر میکروآلیاژی ، درصد کربن موجود در فلز مذاب نباید از ۳/۵ درصد تجاوز کند . اطلاعات جدول ۳ نشان می‌دهد که افزایش توان عناصر میکروآلیاژی نیز می‌تواند باعث افزایش بازدهی جذب از طریق حفاظت متقابل شود .

تأثیر درصد عناصر میکروآلیاژی و عملیات حرارتی و مکانیکی بر میزان سختی در مقاطع عمود بر جهت انجام داده این را جدول ۴ نشان می‌دهد . براساس این اطلاعات ، میزان سختی با افزایش میزان عناصر میکروآلیاژی بیشتر می‌شود . این موضوع با افزایش استحکام فولاد در اثر افزودن

میل ترکیبی شدید وانادیوم با کربن و نیتروژن در فولادهای وانادیوم دار به وجود آمده و به صورت رسوبات ریز باعث کنترل رشد دانه‌های استنتیت طی عملیات نرمالیزاسیون شده باشد . ایجاد شرایط جوانه زنی برای تبدیل استنتیت به فریت نیز حین سرد شدن نهایی از دمای نرمالیزاسیون در اثر این رسوبات ، عامل اصلی ریز شدن دانه‌های فریت تلقی می‌شود . این موضوع با نتایج تحقیقات قبلی نیز سازگار است ۳۸ .



شکل ۱-وسیله به کار رفته برای تولید فولاد مذاب میکروآلیاژی

تصاویر ریز ساختار نمونه‌ها را پاسازیلیش و حکاکی با محلول دو درصد نایاتال ، میکروسکوپ نوری با بزرگنمایی ۵۰۰ برابر (نمونه های ۲ و ۳) و میکروسکوپ الکترونی با بزرگنمایی ۳۰۰۰ برابر بررسی می‌کند . توزیع نقاط بسیار ریز و کاملاً پراکنده بر صفحه تلویزیونی میکروسکوپ الکترونی حکاکی از پخش شدن ترکیبات عناصر میکروآلیاژی در کل زمینه فولاد است . اندازه دانه هادر فولادهای ریخته شده بزرگتر از سایر حالات است . در حالت ریخته شده ، آبداده و بازگشت داده شده ، دانه‌های فریت ریزتر و همگن تر شده اند . در حالت نورد شده ، اثر عملیات نورد بر طویل شدن دانه‌های خوبی مشاهده می‌شود . در این حالت ساختار قطعات ، فریتی - پرلیتی است . در حالت نورد شده ، آبداده و بازگشت داده شده به علت سرعت زیاد سرد شدن ، فاز پرلیت در ساختار قطعات دیده

جدول ۴ - ناشر عناصر میکروآلیژی و عملیات حرارتی و مکانیکی بر سختی نمونه های فولادی.

نحوه	درصد عناصر میکروب‌الیاژی	سختی ویکرزا
نورد شده، آبداده و بازگشت داده شده	نورد شده پخته شده آبداده و بازگشت داده شده	نورد شده پخته شده نرم‌الجذب نایوجوم واسد یوم
۱۳۷	۲۰۰	۱۵۹
۱۴۸	۱۹۵	۱۶۹
۱۷۱	۲۱۰	۱۱۲
۱۷۰	—	۱۴۸
۲۰۱	—	۱۱۲
۲۶۴	۲۶۳	۱۳۷
۲۸۰	—	۰/۰۲۵
۳۰۴	۳۰۴	۰/۱۲
—	—	۰/۰۶
۱۵۹	۱۰۶	۱۲۱
۱۶۹	—	—
۱۷۱	۱۷۱	۱
۱۷۰	—	۲
۱۹۱	۱۹۱	۰/۱۲
۲۰۱	۱۵۵	۰/۰۲۵
۲۶۴	۱۶۸	۰/۰۶
۲۸۰	—	۰/۰۶
۳۰۴	۱۷۸	۰/۱۴
—	—	۰/۱۴
۱۵۹	۲۵۲	۰/۱۴
۱۶۹	۲۸۳	۰/۱۸
۱۷۱	۲۸۳	۰/۱۸
۲۰۱	۲۷۹	۰/۲۲
۲۶۴	۰/۲۲	۰/۲۲
۲۸۰	۰	۰

جدول ۳- بازدهی جذب عناصر میکروآلیاژی

نام شکلداری فولاد مذاب بعد از افزودن عناصر میکروآلیاژی (دقیقه)	بازدهی جذب عناصر میکروآلیاژی (درصد) و اندیوم نایوبیوم	زمان شکلداری فولاد مذاب بعد از افزودن عناصر میکروآلیاژی (دقیقه)	نموده عنصر میکروآلیاژی (سانسینگراد)	دما فلز مذاب هنگام افزودن نحوه افزودن عناصر میکروآلیاژی	تولید فولاد میکروآلیاژی و اتاندیوم و نایوبیوم
-	-	۴۶	۱۰	غوطه ورسازی قوطی فروزاندیوم و هم زدن ۲۵ دور در ۲۵ ثانیه	۱۶۵۰
-	-	۷۰	۹۰	غوطه ورسازی قوطی فروزاندیوم و هم زدن ۱۵ دور بعد از افزایش و اندیوم و ۴ بعد از افزایش نایوبیوم	۱۶۵۰
-	-	۸۰	۸۲	غوطه ورسازی قوطی فروزاندیوم و هم زدن ۱۵ دور در ۲۰ ثانیه	۱۶۵۰
۷۰	۸۵	۹۲	۳	غوطه ورسازی قوطی فروآلیاژ و هم زدن ۱۰ دور در ۲۵ ثانیه	۱۶۵۰
۷۰	۸۵	۹۵	۳	غوطه ورسازی جعبه فروآلیاژ و هم زدن ۶ دور در ۲۵ ثانیه	۱۶۵۰

نشان داده شده است. این اطلاعات نشان می‌دهد که با افزایش درصد عناصر میکروآلیازی، تنفس تسلیم و حد نهایی کشش فولاد افزایش می‌یابد. علت این موضوع ریز شدن کریستالهاست که با رابطه معروف Hall-Petch و توجیه می‌شود. دلیل دیگر، پخش ذرات ریز کاربونیترید در زمینه فولاد است. ریز شدن دانه ها علاوه بر افزایش تنفس تسلیم، چقرمگی فولاد را نیز بهبود می‌بخشد. مقاوم شدن در اثر تشکیل محلول جامد، ایجاد زیرساختمن نابجاییها و پیدایش جهات برتر نیز بسته به ترکیب شیمیایی و نحوه عملیات انجام شده حین تولید، روی استحکام نهایی فولادهای میکرو-آلیازی تأثیر دارد [۵، ۴۲ و ۴۳]. از آنچه که در فولادهای مورد آزمایش، دو حد بالا و پائین تسلیم وجود دارد، لذا حد خستگی تقریباً "نصف حد نهایی" کشش است و با افزایش میزان عناصر میکروآلیازی می‌باید افزوده شود. منحنیهای کششی همچنین نشان می‌دهند که مدول کشسانی نمونه‌ها با افزایش محتوای عناصر میکروآلیازی، چندان تغییر نمی‌کند. علت این موضوع بستگی مدول کشسانی به انرژی اتصالات بین اتمی است که عمدتاً به ترکیب شیمیایی کلی آلیاز وابسته است و با افزایش مقادیر بسیار جزئی عناصر میکرو-آلیازی و نیز عملیات حرارتی و مکانیکی نمونه‌ها تغییر قابل ملاحظه‌ای نشان نمی‌دهد. خلاصه اطلاعات حاصل از آزمایش‌های کشش در جدول ۵ آمده است.

عناصر آلیازی مطابقت دارد. فزوئی سختی فولادها در حالت ریخته شده، آبداده و بازگشت داده شده Cast Quench ed and Tempered نسبت به حالت نورد شده، آبداده و بازگشت داده شده به واسطه طولانی تر بودن مدت اعمال حرارتی و درشت تر شدن رسوبات در حالت اخیر است. رسوبات درشت‌همانگی خود را با زمینه از دست می‌دهند و از میزان تنشهای کشسان اطراف خود می‌کاهند. نتیجه‌این فرایند کاهش، سختی نمونه است.

در نمونه‌های نورد شده AS Rolled، به علت انجام مراحل نهایی نورد در درجه 500°C و اینکه در این دمای امکان تبلور مجدد وجود نداشته، میزان سختی بسیار زیاد است. در حالت ریخته شده نرمالیزه Cast Normalized به علت متعادل تر بودن دانه‌ها، کمترین میزان سختی نسبت به سایر حالات ملاحظه می‌شود. اطلاعات جدول ۴ نشان می‌دهد که سختی در همه حالات حرارتی و مکانیکی برای فولادهای وانادیوم - نایپوبیوم دار بیشتر از فولادهای - ساده است. علت این پدیده اولاً "ریزتر بودن دانه‌ها در فولادهای دارای عناصر میکروآلیازی بیشتر (شکلهای ۲ و ۳) و ثانیاً" تشکیل رسوبات مربوط به عناصر میکروآلیازی در فاز فریت است. این ترکیبات که می‌توانند از نوع نیتریدی، کاربیدی یا کاربونیتریدی باشند، سختی بسیار بالایی دارند و باعث افزایش سختی رسوبات Precipitation فاز فریت می‌شوند.

ریز شدن دانه‌ها در اثر افزایش عناصر میکروآلیازی (نمودارهای ۳ و ۲) به علت تشکیل ترکیبات عناصر میکرو-آلیازی با ناخالصیها و کربن موجود در فولاد است. این ترکیبات چنانچه از نظر ابعاد وجهت شبکه کریستالی با ساختار فولادهای همانگی داشته و در درجه ای انجام داده شده است. به صورت مرکز جوانه زنی عمل می‌کنند و باعث ریز شدن دانه‌های مارکز شوند. این مارکز که از نظر ابعاد در حدود چند برابر شبکه کریستالی هستند، در فاز آستنتیت پراکنده‌اند و در هنگام تغییر حالت آستنتیت به فریت، مانع حرکت نابجاییها و پیشرفت فرایند تبلور مجدد می‌شوند. قفل شدن مرز دانه‌ها در اثر رسوبات میکروآلیازی هنگام تغییر حالت آستنتیت به فریت سبب ریز شدن دانه‌های فریت ۴۱-۳۹ و افزایش میزان استحکام فولاد می‌شود.

تأثیر عناصر میکروآلیازی و عملیات حرارتی و مکانیکی برخواص کششی فولادها در شکلهای ۴ و ۵ به طور مقایسه‌ای

جدول ۵ - تاثیر عناصر میکروآلیازی بر خواص مکانیکی نمونه های فولاد میکروآلیازی نورد گرم شده، آب داده و بازگشت داده شدده.

نمونه	درصد طولی شدن نمونه	درصد طولی شدن	حد نهائی کشش (مگا پاسکال)	تنشیت سلسیم (مگا پاسکال)	سطح مقطع اولیه نمونه (میلی متر مربع)	درصد عناصر میکروآلیازی نایبوبیوم و آنادیوم	شمع بوش
۱	-	-	-	-	-	-	-
۲	۰/۱۲	۰/۰۶	-	-	-	-	لوله نفت
۳	۰/۱۴	۰/۰۲۵	-	-	-	-	-
۴	۰/۱۸	۰/۰۱۸	-	-	-	-	-
۵	۰/۲۲	۰/۰۲۲	۰/۰۲۷	۰/۰۴۶	۰/۰۲۵	۰/۰۱۲	-
۶	۰/۲۶	۰/۰۲۳	۰/۰۲۷	۰/۰۴۶	۰/۰۲۶	۰/۰۰۶	-
۷	۰/۲۹	۰/۰۲۴	۰/۰۲۸	۰/۰۴۷	۰/۰۲۷	۰/۰۱۳	-
۸	۰/۳۲	۰/۰۲۵	۰/۰۲۹	۰/۰۴۸	۰/۰۲۸	۰/۰۱۴	-
۹	۰/۳۵	۰/۰۲۶	۰/۰۳۰	۰/۰۴۹	۰/۰۲۹	۰/۰۱۸	-
۱۰	۰/۳۸	۰/۰۲۷	۰/۰۳۱	۰/۰۵۰	۰/۰۳۰	۰/۰۲۰	-
۱۱	۰/۴۱	۰/۰۲۸	۰/۰۳۲	۰/۰۵۱	۰/۰۳۱	۰/۰۲۲	-
۱۲	۰/۴۴	۰/۰۲۹	۰/۰۳۳	۰/۰۵۲	۰/۰۳۲	۰/۰۲۳	-
۱۳	۰/۴۷	۰/۰۳۰	۰/۰۳۴	۰/۰۵۳	۰/۰۳۳	۰/۰۲۴	-
۱۴	۰/۵۰	۰/۰۳۱	۰/۰۳۵	۰/۰۵۴	۰/۰۳۴	۰/۰۲۵	-

جمع‌بندی

عناصر میکروآلیاژی، حتی در مقادیر بسیار کم، می‌توانند خواص فیزیکی و مکانیکی فولادها را بهبودبخشند. نحوه عمل این عناصر، به این ترتیب است که با بسیاری از عناصر موجود در فولاد مانند اکسیژن، نیتروژن، گوگرد، هیدروژن و کربن ترکیب می‌شوند و آنها را به ترکیبات اکسیدی، نیتریدی، سولفیدی و یا کاربیدی دیرگذاری تبدیل می‌کنند که بعضی همراه سرباره دفع می‌شوند و بعضی دیگر به صورت مراکز جوانه زنی عمل می‌کنند و سبب ریز شدن دانه‌ها در هنگام انجماد فولاد می‌شوند. این ترکیبات بسیار سخت اند و با تشکیل رسوبات بسیار ریز (حدود چند برابر ثابت شبکه کریستالی) در ساختار فولاد جامد سبب مقاوم شدن آن می‌شوند. ترکیبات عناصر میکروآلیاژی همچنین می‌توانند در فاز آستنیت پراکنده شوند و در هنگام تغییر حالت آستنیت به فریت، جلو حرکت نابجاییها و پیشرفت فرایند تبلور مجدد را بگیرند. برای انجام این مقصد، لازم است مقدار عناصر میکروآلیاژی افزوده شده به فلز مذاب درست به میزان لازم باشد تا همانگی بین ساختمان شبکه کریستالی ترکیبات میکروآلیاژی و فولاد ازین نزود و همچنین تمرکز مقادیر اضافی مواد میکروآلیاژی در مرز دانه‌ها سبب سست شدن و انقطاع مرز کریستالها نشود.

مشکل اصلی در تولید فولادهای میکروآلیاژی، کم بودن بازدهی جذب این عناصر به دلیل میل ترکیبی شدید آنها با عوامل ناخالصی موجود در محیط عمل است که ضرورت حفاظت فلزمذاب در مقابل ورود عوامل خارجی مانند اکسیژن و نیتروژن را به خصوص در هنگام افزودن عناصر میکروآلیاژی ایجاد می‌کند. برای کاهش میزان مصرف این عناصر، برای مثال، لازم است عملیات اکسیژن زدایی و گوگردزدایی پیش از افزودن عناصر میکروآلیاژی دقت لازم پشود.

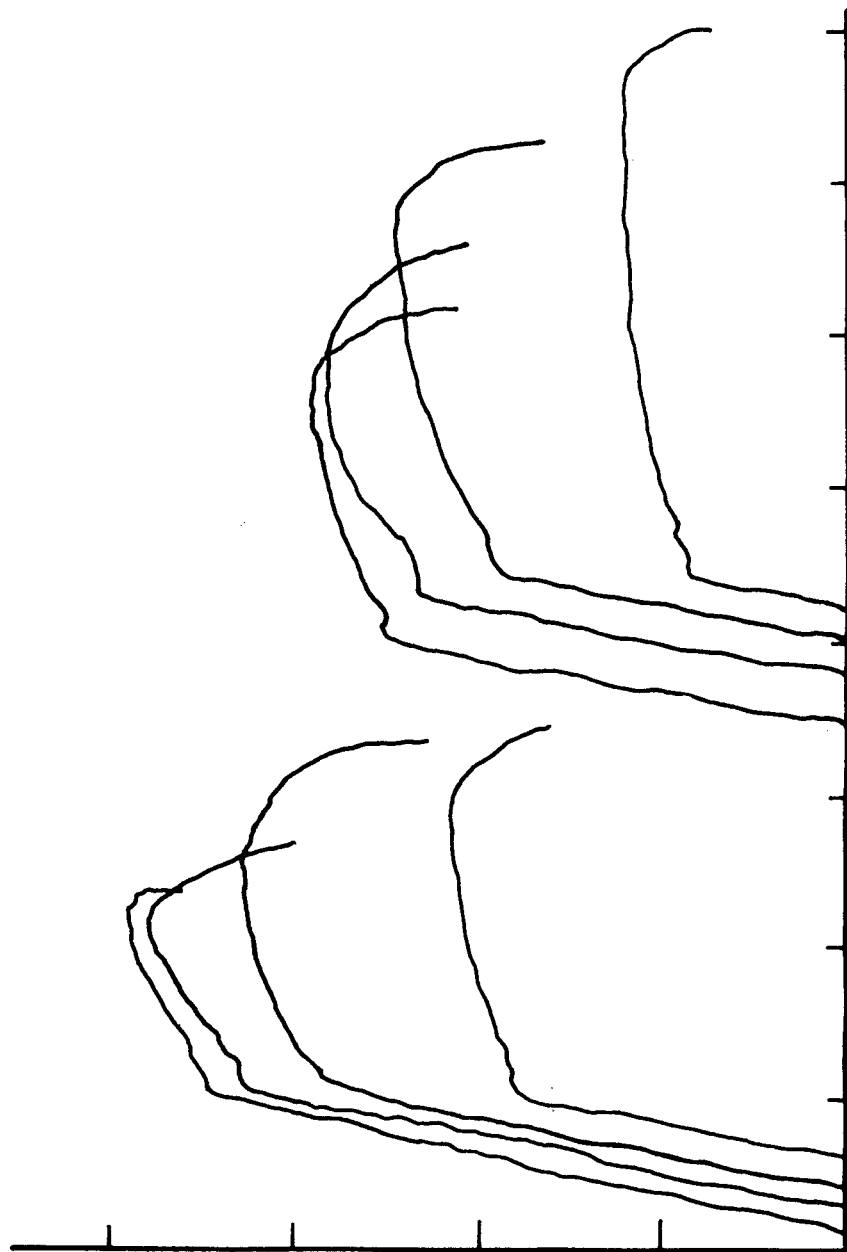
برای افزایش بازدهی جذب عناصر میکروآلیاژی طی این بررسیها، روش ابتكاری تازه‌ای به کار رفته که با کمک آن بازدهی جذب دو عنصر وانادیوم و نایوبیوم مطالعه و تحقیق شده است. در اجرای این روش، تنها از تکنولوژی و وسائل عادی موجود در کشور استفاده شده و برای محافظت از فلز

مذاب حین انجام عملیات نیز هیچ اقدام حفاظتی ویژه‌ای بر سیستم اعمال نشده است. با این همه، بازدهی جذب وانادیوم به بالاتر از ۹۰ درصد و از آن نایوبیوم به بالاتر از ۸۵ درصد توسعه یافته است. نتیجه آزمایش‌های انجام شده نشان می‌دهد که بازدهی جذب وانادیوم از بازدهی جذب نایوبیوم بیشتر است. به علاوه با افزایش درصد کربن موجود در فولاد، بازدهی هر دو عنصر اضافه می‌شود. اگرچه همزن ملایم فلز مذاب می‌تواند به انحلال و جذب عناصر میکروآلیاژی کمک کند، اما همزن شدید باعث کاهش بازدهی جذب می‌شود.

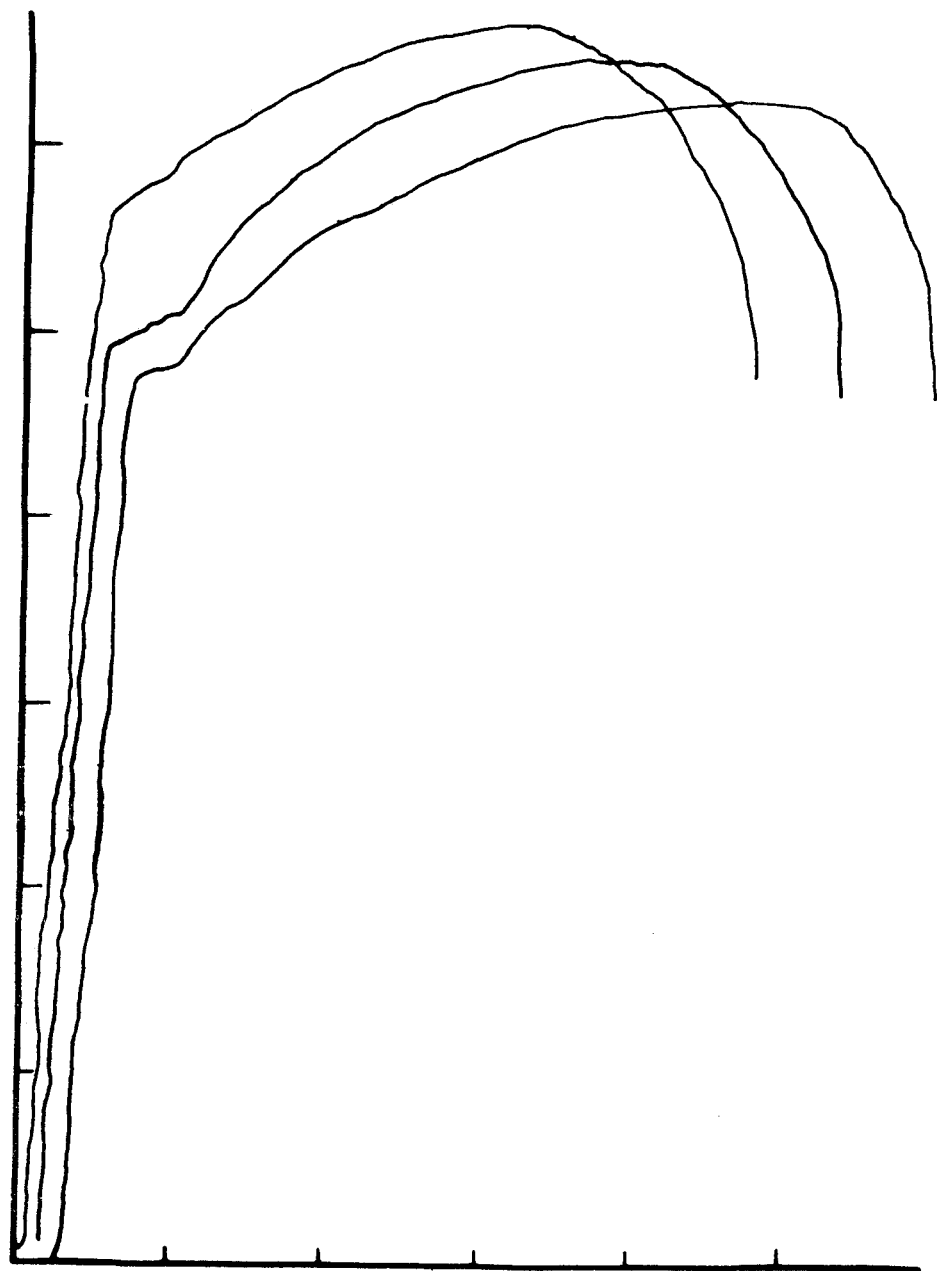
در ادامه مطالعات، بر فولادهای میکروآلیاژی حاصل چند عمل نرم‌المیزاسیون، نورد گرم و آبدادن انجام شده. و خواص فیزیکی و مکانیکی قطعات حاصل با یکدیگر مقایسه شده‌اند. نتیجه آزمایش‌های انجام شده ریز شدن دانه‌های فریت در اثر افزایش عناصر میکروآلیاژی و نتیجتاً "افزایش استحکام، چقرمگی و سختی فولادهای حاصل بوده است.

سپاسگزاری

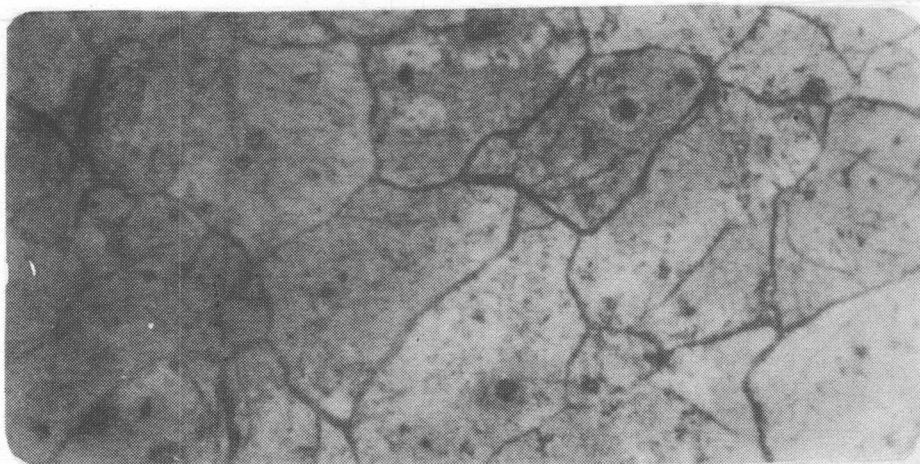
بدین وسیله از تکنیسینهای آزمایشگاه‌های متالورژی استخراجی، عملیات حرارتی و شکل دادن فلزات دانشگاه صنعتی شریف برای همکاری در تهیه نمونه‌ها، از مسئول آزمایشگاه کارخانه نورد و تولید قطعات فولادی برای تهیه آنالیز شیمیائی فولادهای تهیه شده، از تکنیسین های آزمایشگاه‌های عملیات حرارتی و متالوگرافی دانشکده فنی دانشگاه تهران برای همکاری در تهیه و متالوگرافی نمونه‌ها و از مسئول آزمایشگاه میکروسکوپ الکترونی مرکز پژوهش‌های خواص و کاربرد مواد و نیرو از بابت همکاری در مطالعه سطوح و مقاطع قطعه‌های فولادی سپاسگزاری و تشکر می‌شود.



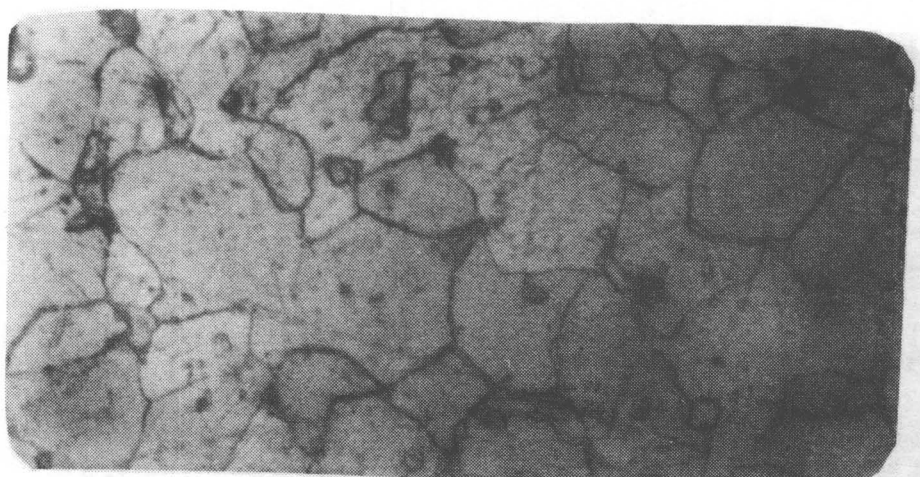
شکل ۵- منحی های کششی فولادهای (الف - نورد شده، آباده و بازگشت داده شده و ب - نورد شده (توجه: مبدأ منحی ها روی محور افقی نسبت به هم تغییر مکان یافته اند).



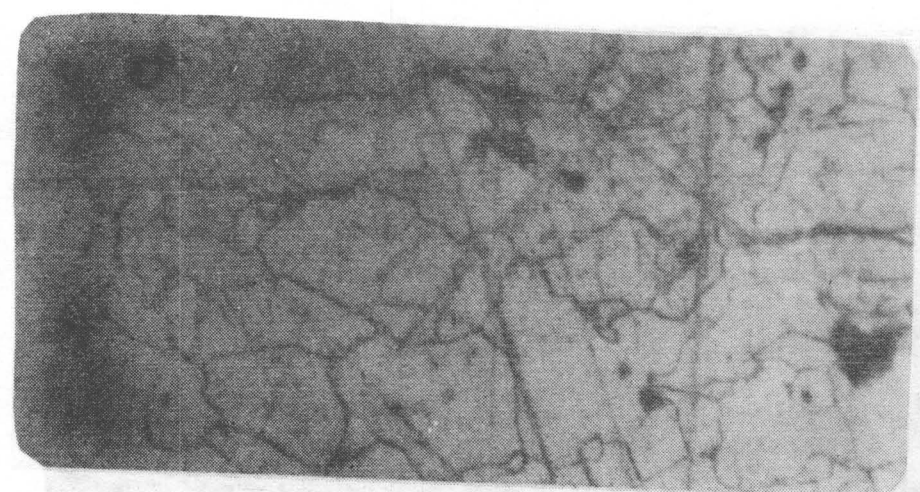
شکل ۴- منحنی های کششی فولادهای نورد شده، آبداده و بازگشت داده شده (توجه: مبدأ منحنی ها روی محور افقی نسبت به هم تغییر مکان یافته اند) .



شکل ۲ (الف)

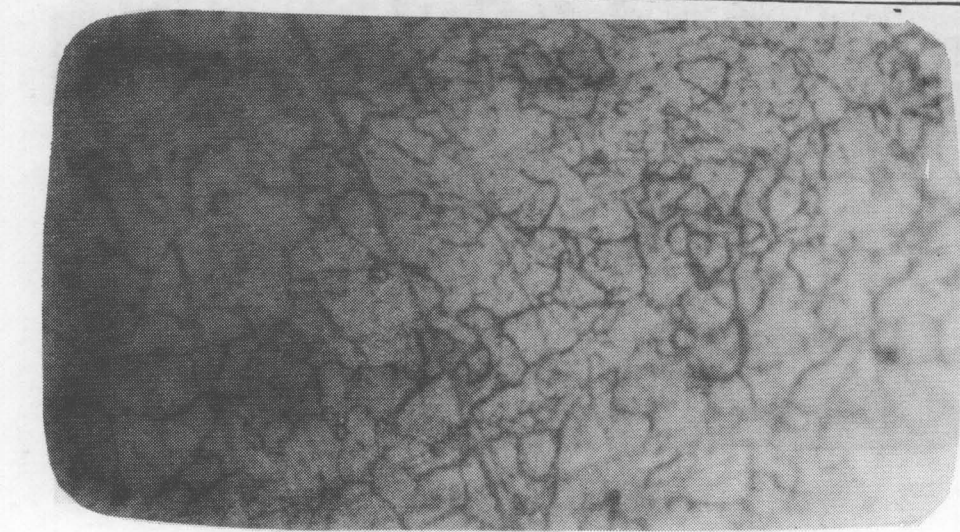


شکل ۲ (ب)

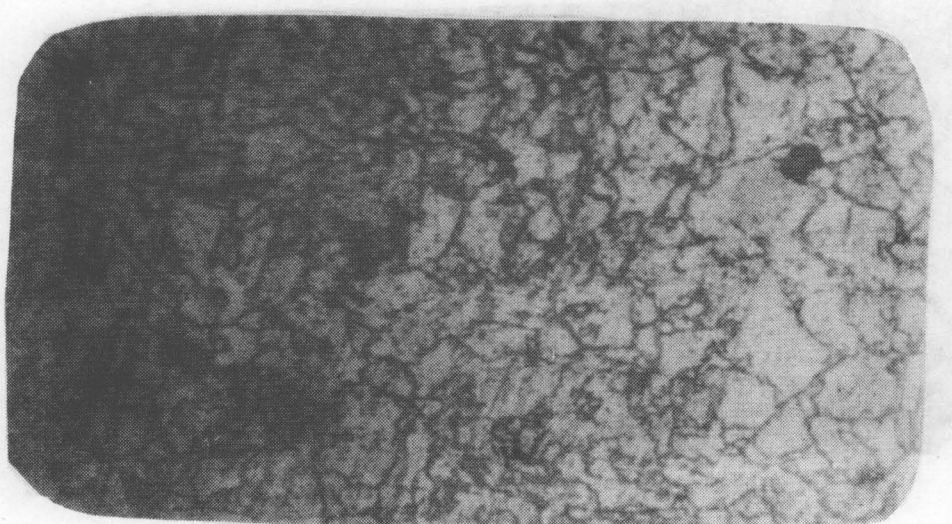


شکل ۲ (ج)

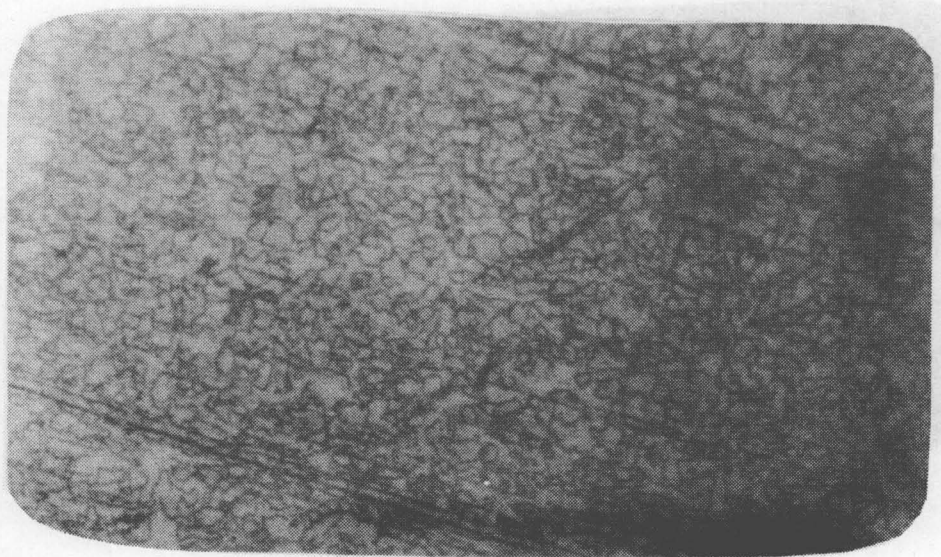
شکل ۲- ریز ساختار فولادهای ریخته شده نرمالیزه الف - شمع بوش، ب - نمونه ۱ و ج - نمونه ۲ (بزرگنمایی ۵۰۰) .



شكل



شكل ۳ (ج)



شكل ۳ (ج)

شکل ۳—ریز ساختار فولادهای نورد شده، آبداده و بازگشت داده شده الف—شمع بوش ب—نمونه ۱ و ج—نمونه ۲ (بزرگنمایی ۵۰۰) .

- 1- Stuart and Jones: Journal of Metals, April 1983, 17-20.
- 2- Green: Micro Alloy 75, Proceedings of the conference, Michigan, 1977, 634-642.
- 3- Mitchell and Chang: Micro Alloy 75, Proceedings of the Conference, 1977, 1977, 599-605.
- 4- Walter,: Micro Alloy 75, Proceedings, 1977, 622-63.
- 5- Gladman, Dulieu and McIvor: Micro Alloy 75, Proc., 1977, 32-55.
- 6- Held: Metal Progress, Dec. 1985, 17-23.
- 7- Hertzberg and Goodenow: Micro Alloy 75, Proceedings, 1977, 503-516.
- 8- Parrini, Pizzimenti and Pozzi: Micro Alloy 75, Proceedings, 1977, 288-302.
- 9- Younger: Metal Progress, May 1975, 43-47.
- 10-Dinda and Kasper: Micro Alloy 75, Proceedings, 1977, 531-539.
- 11-Younger: Metal Progress, Feb. 1976, 26-37.
- 12-Tucker, Dunn, Deere and Company: Micro Alloy 75, Proceedings Chicago, 1977, 645-653.
- 13-Hilsen, Fine and Hansen: Micro Alloy 75, Proceedings, Chicago, 1977, 654-664.
- 14-Johnson: Micro Alloy 75, Proceedings, 1977, 643, 644.
- 15-Carter: Micro Alloy 75, Proceedings, 1977, 716-723.
- 16-Kampschaefer and Jesseman: Micro Alloy 75, Proceedings, 1977, 694-708.
- 17- Weise: Micro Alloy 75, Proceedings, 1977, 676-683.
- 18- Litvinenko: Micro Alloy 75, Proceedings, 1977, 470-473.
- 19- Tanaka, Funakoshi, Ueda and Tsuboi: Micro Alloy 75, Proceedings, 1977, 399-409.
- 20- Taeffner, Gorges, Haneke and Rechnagel: Micro Alloy 75, Proceedings, 1977, 425-434.
- 21- Civallero: Micro Alloy 75, Proceedings, 1977, 451-469.
- 22- McCutcheon: Micro Alloy 75, Proceedings, 1977, 382-386.
- 23- Repas: Micro Alloy 75, Proceedings, 1977, 387-396.
- 24- Yamaguchi, Taira, Osuka and Iwasaki: Micro Alloy 75, Proceedings, 1977, 415-424.
- 25- Jones: Micro Alloy 75, Proceedings, 1977, 397-398.
- 26- Tither: Micro Alloy 75, Proceedings, 1977, 410-414.
- 27- Suzuki, Nishizawa and Asai: Micro Alloy 75, Proceedings, 1977, 442-450.
- 28- Hamre and Gilroy-Scott: Micro Alloy 75, Proceedings, 1977, 375-381.
- 29- Lafrance, Caron, Lamant and Leclerc: Micro Alloy 75, Proceedings, 1977, 367-374.
- 30- Irrine, Pickering and Gladman: Jurnal of Iran and Steel Institute, Vol. 205, 1967, 161-182.
- 31- Orton: Micro Alloy 75, Proceedings, 1977, 334-347.

- 32- Grumbach: Micro Alloy 75, Proceedings, 1977, 348.
- 33- Oberhauser and Wallner: Micro Alloy 75, Proceedings, 1977, 349.
- 34- Tanaka: Micro Alloy 75, Proceedings, 1977, 350-352.
- 35- Yamaguchi: Micro Alloy 75, Proceedings, 1977, 352-353.
- 36- Somerville: Micro Alloy 75, Proceedings, 1977, 354-358.
- 37- Sheng and Chen, "Recent Progress of Rare Earth Treated Steel in China": Journal of Metals, March 1985, 55-58.
- 38- Meyer, Heisterkamp and Mueschenborn: Micro Alloy 75, Proceedings, 1977, 153- 167.
- 39- Wilber, Bell, Bucher and Childs: Transactions of Metallurgical Society of AIME Vol. 242, 1968, 2305-2308.
- 40- Lamberigts, Pelerin' and Greday: Center for Research in Metallurgy (CRM), Vol. 40, 1974, 31-41.
- 41- Honeycombe: Specialty Steel and Hard Materials, Pergamon Press, 1983.
- 42- Tanaka, Tabata, Hatomura and Shiga: Micro Alloy 75, Proceedings, 1977, 107-119.
- 43- Cohen and Owen: Micro Alloy 75, Proceedings, Chicago, 1977, 2-8.